

RELACIONES TECTONOESTRATIGRAFICAS

EON	ERA	PERIODO	Ma	UNIDADES LITOESTRATIGRAFICAS
FANEROZOICO	CENOZOICO	QUATERNARIO	Q2a	Depósitos aluvionares
			Q2ab	Formação Serra da Bodoquena
PALEOZOICO	CARBONIFERO/PERMIANO	BACIA DO PARANÁ	C2P1a	Formação Aquidauana
			FAIXA PARAGUAI	Sills e diques básicos
PROTEROZOICO	NEOPROTEROZOICO	EDIACARANO	Grupo Corumbá	Formação Guaiçurus
			Formação Tamengo	
PROTEROZOICO	PALEOPROTEROZOICO	ESTATERIANO	Formação Bocaina	
			Formação Cerradinho	
PROTEROZOICO	PALEOPROTEROZOICO	ESTATERIANO	CRÁTON AMAZÔNICO	Orognaise Espinho
			Orognaise Rio da Areia	
PROTEROZOICO	PALEOPROTEROZOICO	ESTATERIANO	Orognaise Santa Clarinha	Granito Scardine
			Augengnaise Rio da Areia	
PROTEROZOICO	PALEOPROTEROZOICO	ESTATERIANO	Complexo Rio Apa	Unidade gnáissica
			Unidade granítica	
PROTEROZOICO	PALEOPROTEROZOICO	ESTATERIANO	Formação Alto Tereré	Litolítes de Micaxisto
			Litolítes de Quartzito	

UNIDADES LITOESTRATIGRAFICAS

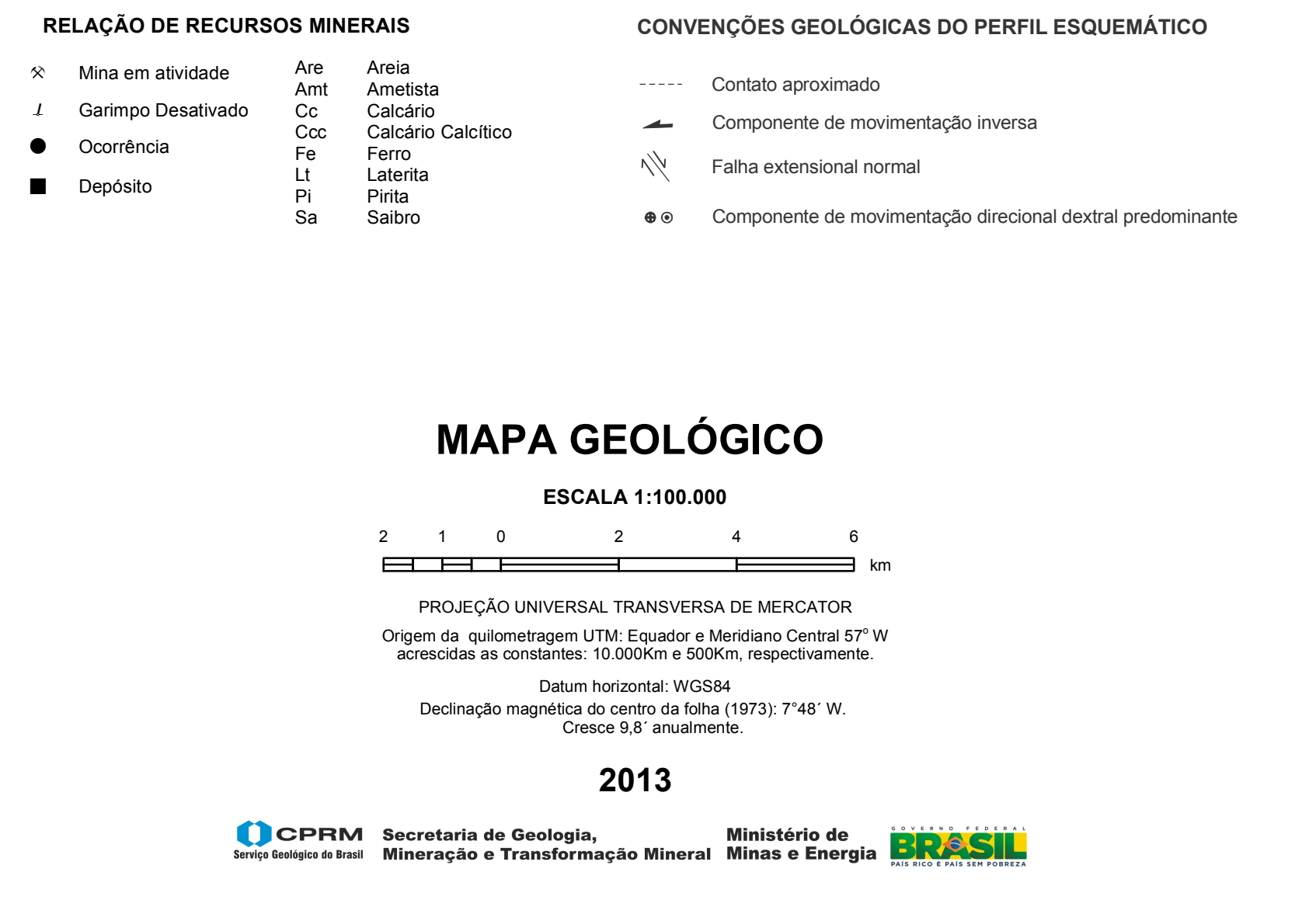
PERIODO	UNIDADES LITOESTRATIGRAFICAS
CENOZOICO	Depósitos Aluvionares - Areia, cascalho e material silto argiloso.
Depósitos Aluvionares - Areia, cascalho e material silto argiloso.	Formação Serra da Bodoquena - Tufas Calcárias e Travertinos.
PALEOZOICO	Formação Aquidauana - Arenito e diamictito.
NEOPROTEROZOICO	Grupo Corumbá
Formação Guaiçurus - Filito roxo, meta-arenito e metarritmilo margoso.	Formação Tamengo - (c) Calcário calcítico puro dominante com margas e ritmilo clástico e clástico-químico subordinados, anquimetaforíticos; (cc) Calcário calcítico e dolomítico; (cd) Calcário dolomítico e dolomítico.
Formação Bocaina - Calcário dolomítico e dolomítico, de cor cinza clara, estrutura maciça e ou laminada.	Formação Cerradinho - Conglomerado na base gradando para arenito arcoseo e grânulo-arenito arcoseo no topo, com intercalações de camadas de margas e arcoseo, comumente com estratificações, anquimetaforíticos.
PALEOPROTEROZOICO	Orognaise Espinho - Magnetita-biotita-gnaiss de composição monzogranítica, migmatítica, protomilonítica a milonítica. 1716 ± 11 Ma U-Pb LA-ICPMS (zircão)
Orognaise Santa Clarinha - Hornblenda-biotita-gnaiss bandado de composição monzogranítica, protomilonítica a milonítica. 1721 ± 26 Ma U-Pb LA-ICPMS (zircão)	Orognaise Rio da Areia - Hornblenda-biotita-gnaiss bandado de composição monzogranítica, protomilonítica a milonítica. 1732 ± 12 Ma U-Pb LA-ICPMS (zircão)
Granito Scardine - Hornblenda-biotita-granito rosa avermelhado, equigranular médio, isotrópico a localmente foliado nas bordas do corpo. 1791 ± 19 Ma U-Pb LA-ICPMS (zircão)	Augengnaise Rio da Areia - Biotita augen gnaiss grosso e porfiritico e as vezes deformado, de coloração cinza a rosa com tons variados. 1820 ± 18 Ma U-Pb LA-ICPMS (zircão)
Complexo Rio Apa	Unidade granítica - Biotita-granito foliado, protomilonítico a milonítico e subordinadamente, granada biotita-muscovita-gnaiss e biotita-muscovita-gnaiss com composições tonalítica, granodiorítica e sienítica.
Unidade gnáissica - Biotita-gnaiss bandado de composição sienogranítica e monzogranítica, comumente com estrutura migmatítica.	Suite Metamórfica Alto Tereré
Litolítes de Micaxisto - Granada muscovita quartzo xisto.	Litolítes de Quartzito - Quartzito micácico.

CONVENÇÕES GEOLÓGICAS

CONVENÇÕES GEOLÓGICAS	CONVENÇÕES GEOLÓGICAS DO PERFIL ESQUEMÁTICO
Contato aproximado	Contato aproximado
Contato definido	Contato definido
Contato geofísico	Contato geofísico
Dique básico	Dique básico
Dique ácido	Dique ácido
Antiforma normal	Antiforma normal
Antiforma normal com caimento indicado	Antiforma normal com caimento indicado
Siniforme normal com caimento indicado	Siniforme normal com caimento indicado
Falha indiscriminada	Falha indiscriminada
Falha ou fratura	Falha ou fratura
Falha extensional (Normal)	Falha extensional (Normal)
Braquianticlinal	Braquianticlinal
Linhamientos estruturais: traços de superfícies S	Linhamientos estruturais: traços de superfícies S
Zona de cisalhamento compressional	Zona de cisalhamento compressional
Falha ou zona de cisalhamento compressional	Falha ou zona de cisalhamento compressional
Zona de cisalhamento transcorrente dextral	Zona de cisalhamento transcorrente dextral
Acamadamento	Acamadamento
Foliação	Foliação
Foliação milonítica	Foliação milonítica
Lineação de estiramento	Lineação de estiramento
Lineação mineral	Lineação mineral
Veio de granito pegmatóide	Veio de granito pegmatóide
DADOS GEOCRONOLÓGICOS	DADOS GEOCRONOLÓGICOS
Idade em U-Pb (LA-ICPMS)	Idade em U-Pb (LA-ICPMS)

CONVENÇÕES CARTOGRÁFICAS

CONVENÇÕES CARTOGRÁFICAS	CONVENÇÕES GEOLÓGICAS DO PERFIL ESQUEMÁTICO
Pista de pouso	Principais drenagens
Caminho	Cemitério
Estrada s/ pavimentação tráfego periódico	Localidade
Estrada s/ pavimentação tráfego permanente	Propriedade rural
MT-462 Estrada estadual pavimentada	
BR-267 Estrada federal pavimentada	
Mina em atividade	Contato aproximado
Garimpo Desativado	Componente de movimentação inversa
Ocorrência	Falha extensional normal
Depósito	Pirita
Areia	Sabão
Amet	Sabão
Calcário	Sabão
Calcário Calcítico	Sabão
Ferro	Sabão
Lateralita	Sabão
Pirita	Sabão
Sabão	Sabão
Componente de movimentação direcional dextral predominante	



CRÉDITOS DA CARTOGRAFIA DIGITAL
A base planimétrica digital foi obtida da carta impressa "Folha Fazenda Margarida SF-21-X-C-IV", publicada em 1986 pelo Ministério do Exército, ajustada às imagens do mosaico de imagens ETM+ do Landsat 7 - Mosaico GeoCover 2,000, resultante da fusão das bandas 7, 4, 2 e 8, com resolução espacial de 14,25 metros, ortorectificado e georeferenciado segundo o datum WGS-84.
A base planimétrica foi editada e atualizada pela Divisão de Cartografia - DICART, para atender ao mapeamento temático do Serviço Geológico do Brasil - CPRM.
Os dados do Modelo Digital de Elevação (MDT) foram obtidos do Shuttle Radar Topography Mission (SRTM), corrigidos e projetados para o Datum WGS-84. Dados de domínio público disponíveis em: U. S. Geological Survey, EROS Data Center, Sioux Falls, SD.

EQUIPE EXECUTORA
Cartografia Geológica: Marcio José Remédio e Vicente Sergio Costa
Recursos Minerais: Marcio José Remédio e Eduardo J. H. C. B. P. Azevedo
Geoquímica: Viviane Carillo Ferrari, Eduardo J. H. C. B. P. Azevedo e Reinaldo Rodrigues da Gama
Geoquímica Prospectiva: Mariane Brumatti
Geofísica: Luiz Gustavo Rodrigues Pinto
Petrografia: Vidyá Vieira de Almeida
SIG Geológico: Fabrício Prior Calababoti
Colaboração: Frederico Meira Faleiros, Mariane Brumatti, Fabrício Prior Calababoti, Joffre Valmorio de Lacerda Filho, Eduardo Gazoni Longo, Sergio Willians de Oliveira Rodrigues e Rafael Aguilar Fungil
Estagiários: Denise Abdo Marcondes Trindade e Marília Brustolini

